

ЛИТЕРАТУРА

1. Б. И. Сажин, Электрические свойства полимеров, «Химия», 1970.
2. Пат. США 3257319; Chem. Abstrs, 60, 20245c, 1966.
3. А. И. Воробьева, Г. В. Леплянин, Т. Х. Довличин, Г. П. Гладышев, С. Р. Рафиков, Высокомолек. соед., Б16, 443, 1974.
4. Г. П. Михайлов, Т. И. Борисова, Высокомолек. соед., 2, 619, 1960.
5. В. Дебский, Полиметилметакрилат, «Химия», 1970.
6. Г. П. Михайлов, Т. И. Борисова, Д. А. Дмитриченко, Ж. техн. физики, 26, 1924, 1956.
7. А. И. Воробьева, Э. И. Аблякимов, Г. В. Леплянин, С. Р. Рафиков, Г. П. Гладышев, Высокомолек. соед., А16, 349, 1974.

УДК 541(64 + 127):547.561

КИНЕТИЧЕСКИЕ ХАРАКТЕРИСТИКИ ТОРМОЗЯЩЕГО ДЕЙСТВИЯ ФЕНОЛОВ ПРИ ОКИСЛЕНИИ ПОЛИПРОПИЛЕНА

Н. В. Золотова, Е. Т. Денисов

Для ингибиторов цепных реакций наиболее важными характеристиками их тормозящего действия являются стехиометрический коэффициент ингибирования f и абсолютная или относительная константа скорости обрыва цепей [1]. В условиях жидкофазного окисления углеводородов эти величины измерены для многих ингибиторов [2]. В условиях окисления твердых полимеров оценка константы скорости обрыва цепей на ингибиторах по начальной скорости окисления в присутствии инициатора зачастую невозможна из-за сильного торможения. Метод трансформации кинетических кривых позволяет преодолеть эту трудность [3]. Большой интерес в ингибированном окислении полимеров представляет роль алкильных макрорадикалов в обрыве цепи [4]. В настоящей работе удалось получить новые результаты по влиянию состава радикалов на стехиометрию обрыва цепей ингибитором.

Цель данной работы — получение количественных характеристик действия фенолов по периоду индукции, по методу трансформации кинетической кривой поглощения кислорода, по расходованию ингибитора и по изменению молекулярной массы при инициированном окислении изотактического полипропилена.

Изотактический полипропилен (ПП) ($M = 260\ 000$, степень кристалличности 0,55, зольность 0,16%) и инициатор — перекись кумила (ПК) очищали по методике, описанной в [5]. Использованные в работе фенолы: 2,6-дитрет.-бутил-4-метилфенол (I), α -нафтол (II), бис-(2-окси-5-метил-3-трет.-бутилфенил)метан (III), 1,1,3-трис-(4'-окси-2'-метил-5'-трет.-бутилфенил)бутан (IV) очищали возгонкой и перекристаллизацией. Образцы, содержащие ПК и фенолы, готовили по методике [5]. Количественный анализ фенолов проводили спектрофотометрически после экстракции их из образцов ПП гептаном. Значения частот поглощения v и коэффициентов экстинкции ϵ даны в табл. 1. Кинетические кривые поглощения кислорода при инициированном окислении ПП в присутствии фенолов снимали на манометрической установке. За период индукции принимали время достижения постоянной скорости поглощения кислорода. Деструкцию ПП оценивали по изменению молекулярной массы в ходе инициированного окисления ПП. Молекулярную массу определяли вискозиметрически [6] по формуле Марка — Хаувинка $\eta = KM^\alpha$, где $K = 1 \cdot 10^{-4}$ и $\alpha = 0,8$ согласно [7]. $[\eta]$ определяли по времени истечения растворов ПП в декалине при 135° . Стехиометрический коэффициент ингибирования f для фенолов измеряли, во-первых, по периоду индукции инициированного окисления ПП $f_{O_2} = w_i \tau_{O_2} / [InH]_0$, во-вторых, по скорости расходования фенола $f_{InH} = w_i / w_{InH}$ и, в-третьих, по длительности торможения деструкции ПП τ_d в присутствии фенолов $f_d = w_i \tau_d / [InH]_0$. Кроме того, из наклона трансформированной кривой поглощения $\text{tg } \varphi = fk_1/k_2 [RH]$, где $[RH] = 22 \text{ моль/кг}$, можно оценить параметр k_1/k_2 , характеризующий относительную активность фенолов, k_1 относится к реакции $RO_2^{\cdot} + InH \rightarrow$, k_2 — реакции $RO_2^{\cdot} + RH \rightarrow$.

Таблица 1

Значения v и ε для фенолов в гептане и f для фенолов при инициированном окислении ПП при 115°
 $([ПК]=0,1 \text{ моль/кг}, w_i=8,1 \cdot 10^{-7} \text{ моль/кг·сек}, P_{O_2}=1 \text{ ата})$

Фенол	$v \cdot 10^{-3}, \text{ см}^{-1}$	$\varepsilon \cdot 10^3, \text{ л/моль}\cdot\text{см}$	Газовая фаза	f_{InH}	τ_{O_2}	τ_d
I	35	2,2	Кислород	1,0	4,1	—
			Воздух	1,8	5,0	4,6
			Аргон	2,0	—	—
II	34	4,8	Кислород	1,0	2,6	3,5
			Воздух	2,0	4,0	—
			Аргон	3,3	—	—
III	35	6,5	Кислород	3,0	—	4,0
			Воздух	5,0	4,3	—
			Аргон	10,0	—	—
IV	35	6,0	Кислород	3,7	3,2	—
			Воздух	3,5	4,0	1,7
			Аргон	3,2	—	—

Установлено, что все фенолы эффективно тормозят как поглощение кислорода, так и деструкцию ПП при его инициированном окислении (рис. 1). Ингибитор расходуется с постоянной скоростью, которая при $w_i = \text{const}$ не зависит от концентрации ингибитора. Это указывает на то,

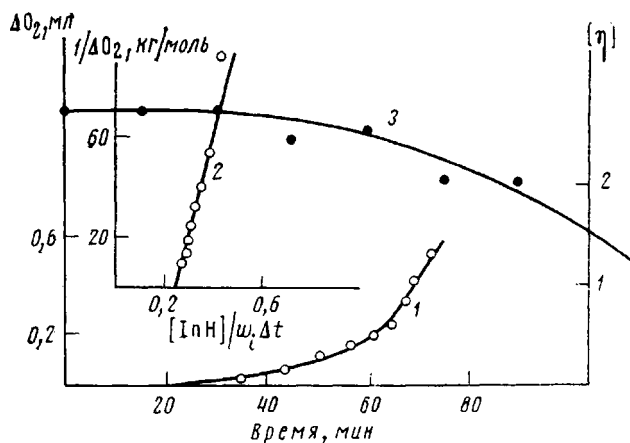


Рис. 1. Кинетическая кривая поглощения кислорода (1) и спрямление ее по методу [3] (2) при инициированном окислении ПП в присутствии IV и изменение характеристической вязкости при термоокислительной деструкции ПП в присутствии II (3); 115° , $[ПК] = 0,1 \text{ моль/кг}$, $[фенола] = 1 \cdot 10^{-3} \text{ моль/кг}$

что в этих условиях все цепи обрываются на ингибиторе (это согласуется с кинетикой поглощения кислорода) и нет побочных реакций его расходования. Период индукции окисления ПП в присутствии ПК и ингибитора линейно зависит от концентрации InH в соответствии с формулой $\tau = w_i/f [InH]_0$, концентрация фенолов изменялась в диапазоне $0,5-6,0 \cdot 10^{-3} \text{ моль/кг}$. Усредненные значения f приведены в табл. 1. Средняя погрешность эксперимента $\pm 25\%$.

Как правило, f_{O_2} близко к f_d , т. е. фенолы тормозят оба процесса — и окисление, и деструкцию. Для ингибиторов I и II $f_{InH} < f_{O_2}$. Это означает, что из I и II в ходе окисления обрываются продукты, образующие цепи.

Поэтому торможение оканчивается тогда, когда израсходуется не только исходный ингибитор, но и образовавшиеся из него продукты — ингибиторы. Для I и II показано, что f_{InH} , измеренный по начальным скоростям расходования ингибитора при окислении ПП при $P_{O_2} = 1 \text{ ата}$, равен единице. По условиям опыта (начальные участки расходования) влиянием продуктов превращения ингибиторов можно пренебречь. Величину $f_{InH} = 1$ для этих экспериментальных условий можно объяснить тем, что феноксильный радикал, образовавшийся в результате реакции $InH + RO_2 \cdot \rightarrow In \cdot + ROOH$, в дальнейшем практически не вступает в реакцию с перекисным радикалом, а погибает в результате рекомбинации $In \cdot + In \cdot \rightarrow$ молекулярные продукты. В случае жидкофазного окисления из-за реакции $In \cdot + RO_2 \cdot \rightarrow InOOR f = 2$. Наблюдаемое различие можно объяснить тем, что диффузия молекул и радикалов в твердом полимере идет быстрее, чем эстафетное перемещение свободной валентности [8], и поэтому два свободно диффундирующих радикала $In \cdot$ встречаются чаще, чем $In \cdot$ с $RO_2 \cdot$ (или R').

С уменьшением P_{O_2} наблюдается рост f для I—III. В инертной атмосфере по сравнению с $P_{O_2} = 1 \text{ ата}$ f увеличивается в ~ 3 раза. Увеличение f не вызвано тем, что часть алкильных радикалов реагирует друг с другом. Специальными опытами показано, что $w_{InH} = \text{const}$ при разных $[InH]$ (рис. 2), т. е. и в отсутствие кислорода все радикалы реагируют с ингибитором. С уменьшением P_{O_2} повышается доля алкильных радикалов. Возможно, что высокое значение f связано с регенерацией InH по реакции диспропорционирования: $In \cdot + \sim CH_2 \rightarrow C(CH_3) \sim + \sim CH = C(CH_3) \sim$, которая имеет место наряду с реакцией рекомбинации $In \cdot + \sim CH_2 \rightarrow C(CH_3) \sim$, приводящей к необратимой гибели InH .

Величины k_7/k_2 , где k_7 относится к реакции обрыва цепи на ингибиторе, а k_2 — к реакции продолжения цепи, вычисленные из наклона трансформированных кривых поглощения кислорода, приведены в табл. 2. Средняя погрешность эксперимента 25 %. Оказалось, что изменение P_{O_2} в окислении ПП не оказывается на значении k_7/k_2 . Например, для I при $P_{O_2} =$

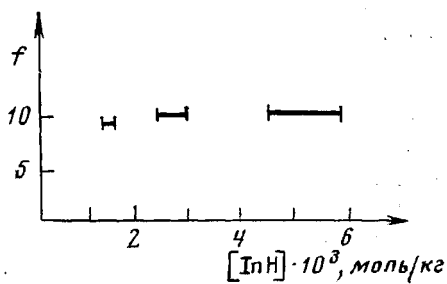


Рис. 2. Зависимость f , измеренного по расходованию фенола III, от концентрации фенола при проведении опытов в аргоне при 115° ; $[ПК] = 0,1 \text{ моль/кг}$; $w_i = 8,1 \cdot 10^{-7} \text{ моль/кг}\cdot\text{сек}$

Таблица 2

Эффективность фенолов в окислении ПП при 115°
($[ПК] = 0,1 \text{ моль/кг}$, $w_i = 8,1 \cdot 10^{-7} \text{ моль/кг}\cdot\text{сек}$, $P_{O_2} = 1 \text{ ата}$)

Фенол	$k_7/k_2 \cdot 10^{-3}$	$k_7 \cdot 10^{-4}$	$k_7/n \cdot 10^{-4}$	$\frac{[11]}{k_7 \cdot 10^{-4}}$	$\frac{[12]}{k_7 \cdot 10^{-4}}$	$\alpha \cdot 10^2$ [43] (70° , ПС)	
		$\text{кг/моль}\cdot\text{сек}$		$\text{л/моль}\cdot\text{сек}$			
		ПП		(60°, кумол)	(60°, этилбензол)		
I	3,5	0,81	0,81	2,2	2,5	7,5	
II	2,6	0,60	0,60	49,0	44,0	9,6	
III	7,0	1,60	0,80	40,0	40,5	17,0	
IV	14,0	3,20	1,10	—	—	—	

* n — число функциональных групп.

$= 1 \text{ атм}$ $k_7/k_2 = 3,5 \cdot 10^3$, а при $P_{O_2} = 0,2 \text{ атм}$ $k_7/k_2 = 3,9 \cdot 10^3$. По-видимому, в условиях наших опытов с исходными фенолами реагируют только перекисные радикалы, и эта реакция является лимитирующей стадией обрыва цепей. Наблюдаемое с уменьшением P_{O_2} увеличение f свидетельствует о том, что алкильные радикалы реагируют только с продуктами превращения фенолов. Величины k_7/k_2 , полученные нами, близки к значениям k_7/k_2 для 4,4'-бутилен-бис-(3-метил-6-трет.бутил)фенола при окислении ПП [9].

Попытаемся оценить абсолютные значения k_7 . Для окисляющегося ПП по данным работы [10] $k_2 = w_{O_2}/[RH][RO_2'] = 2,3 \text{ л/моль\cdotсек}$ при 115° в расчете на полное число мономерных звеньев. Отсюда получаем значения k_7 . Из табл. 2 видно, что k_7/n для всех изученных фенолов близки, т. е. в твердой фазе активность фенолов в расчете на одну функциональную группу оказывается практически одинаковой. В связи с этим интересно сравнить k_7 для ПП (115°) с k_7 для реакции кумилпероксирадикалов [11] и перекисных радикалов этилбензола [12] с этими ингибиторами (табл. 2). Из сравнения видно, что в то время как эффективность фенолов I—III в жидких углеводородах отличается примерно в 10—20 раз, в твердых полимерах активность ингибиторов практически одинакова. Это согласуется с данными работы [13], где аналогичный результат получен для тех же фенолов в твердом ПС (табл. 2). Таким образом, в полимере наблюдается нивелировка реакционной способности разных ингибиторов, и это является, видимо, результатом влияния твердой полимерной матрицы на элементарный акт перекисного радикала с ингибитором. Природа такого явления пока остается неясной. Следует лишь заметить, что это нельзя объяснить диффузионными затруднениями, так как константа скорости поступательной диффузии в ПП на 3—4 порядка выше, чем наблюдаемая k_7 .

Отделение Института
химической физики
АН СССР

Поступила в редакцию
5 III 1975

ЛИТЕРАТУРА

1. Н. М. Эмануэль, Е. Т. Денисов, З. К. Майзус, Цепные реакции окисления углеводородов в жидкой фазе, «Наука», 1965.
2. Е. Т. Денисов, Константы скорости гомолитических жидкофазных реакций, «Наука», 1971.
3. Е. Т. Денисов, В. В. Харитонов, В. В. Федорова, Кинетика и катализ, 15, 618, 1974.
4. Ю. Б. Шилов, Е. Т. Денисов, Высокомолек. соед., А16, 1736, 1974.
5. Л. Л. Гервиц, Н. В. Золотова, Е. Т. Денисов, Высокомолек. соед., А17, 2112, 1975.
6. Л. Л. Гервиц, Н. В. Золотова, Е. Т. Денисов, Высокомолек. соед., Б18, 408, 1976.
7. С. Р. Рафиков, С. А. Павлова, И. И. Твердохлебова, Методы определения молекулярных весов и полидисперсности высокомолекулярных соединений, Изд-во АН СССР, 1963.
8. Ю. Б. Шилов, Е. Т. Денисов, Докл. АН СССР, 226, 887, 1976.
9. Д. Рышавы, Высокомолек. соед., 3, 464, 1961.
10. J. C. W. Chien, C. R. Boss, J. Polymer Sci., B5, 3091, 1967.
11. Г. П. Гладышев, В. Ф. Цепалов, Успехи химии, 44, 1831, 1975.
12. О. Н. Карпухин, В. Я. Шляпинтох, Н. В. Золотова, Изв. АН СССР, Отд. хим. н., 1963, 1722.
13. О. Н. Карпухин, Т. В. Погосян, В. Я. Шляпинтох, Высокомолек. соед., А13 22, 1971.